

5-FU'nun intraperitoneal kullanımında intestinal anastomoz üzerine olan olumsuz etkisinin çinko ile engellenmesi

Prevention of the inhibitory effect of intraperitoneal 5-FU on intestinal anastomosis by zinc

Dr. Ali Rıza TÜMER¹, Dr. Nuri Aydin KAMA¹, Dr. Sevda F. MÜFTÜOĞLU²,
Dr. Cenap DENER¹, Dr. Leyla TÜMER³, Dr. Atilla DAĞDEVİREN²

Ankara Numune Hastanesi 4. Cerrahi Servisi¹, Hacettepe Üniversitesi Tip Fakültesi Histoloji-Embriyoloji² Anabilim Dalı,
Gazi Üniversitesi Tip Fakültesi Pediatrik Metabolizma ve Nütrisyon³ Bilim Dalı, Ankara

ÖZET: Rezektabl kolon kanserli hastalarda lokal ve regional rekürrensleri önlemeye bugün için kabul edilen en iyi adjutan tedavi erken postoperatif dönemde intraperitoneal kemoterapidir. Bu amaçla en sık kullanılan ajanlardan 5-FU'nun yara iyileşmesi üzerine olumsuz etkilerinin, Zn'nun tedaviye eklenmesiyle; yara iyileşmesini nasıl etkilediğini araştırmak amacıyla bu çalışma planlanmıştır. Çalışmada 32 adet Yeni Zellanda tavşanının postoperatif yedinci gün batın duvarları açılmış, patlama basınçları kaydedilmiş, histolojik incelemeler, dokuda hidroksiprolin ve Zn tayinleri için örnekler alınarak analizleri yapılmıştır. 5-FU grubunda kollajen sentezinin önemli ölçüde bozulduğu ortalamaya patlama basıncı ($p:0.048$) ve hidroksiprolin değerlerinin ($p:0.015$) istatistiksel olarak azaldığı gözlenmiştir. Zn grubunda ortalamaya patlama basınçları kontrol grubuna göre anlamlı olarak yüksek bulunmuşken ($p:0.02$), hidroksiprolin düzeylerinde bu anlamlı ilişki saptanamamıştır ($p:0.560$). 5-FU + Zn grubunda ortalamaya patlama basınçları 5-FU grubuna göre anlamlı olarak yüksek bulunmuştur ($p: 0.014$). Hidroksiprolin düzeyleri Zn verilen grupta anlamlı derecede artmıştır ($p: 0.054$). Histolojik parametrelerde 5-FU'nun kolonik anastomoz iyileşmesini erken dönemde önemli ölçüde bozduğu ve geniş nekroz alanları oluşturduğu, 5-FU + Zn grubunda ise özellikle epitelizasyonda ve fibroblast sayısında artış ve nekroz alanlarında azalma gözlenmiştir. Intraperitoneal 5-FU kullanımına Zn ilavesi ile patlama basıncında ($p:0.014$), hidroksiprolin miktarında ($p:0.054$) ve histolojik olarak epitelizasyon ($p:0.002$), fibroblast ($p:0.000$) ve kollajen miktarındaki anlamlı artış Zn'nun 5-FU'nun yara iyileşmesi üzerine olan olumsuz etkisini düzelttiğini göstermektedir.

Anahtar kelimeler: **Kolon anastomozu, 5-Fluorourasil, çinko, histopatoloji**

CERRAHI, malign gastrointestinal tümörler için etkili bir tedavi yöntemidir. Bununla birlikte kolorektal kanserlerin küratif rezeksiyonlarından

SUMMARY: Today adjuvant therapy using early postoperative intraperitoneal chemotherapy, is particularly appropriate treatment to prevent the local and regional recurrence in resectable colon cancers. Intraperitoneal 5-Fluorouracil (5-FU) is the most preferable agent for this purpose. The aim of this study is to determine the effect of Zn against the inhibitory effect of 5-FU on the healing of colonic anastomosis. In 5-FU treated group, average bursting pressure ($p:0.048$) and hydroxyproline levels were significantly decreased ($p:0.015$). In only Zn treated group, average bursting pressure was significantly increased ($p:0.02$) whereas hydroxyproline levels showed no correlation with the control group ($p:0.560$). In both 5-FU and Zn treated groups average bursting pressure had statistically significant correlation only with the 5-FU treated group ($p:0.014$). In this group hydroxyproline levels were increased as well ($p:0.014$). The histological observations showed that 5-FU impaired the healing of colonic anastomosis with the appearance of necrotic tissue at the anastomosis region. However the 5-FU and Zn groups appeared to be nearly completely epithelialized and also the number of fibroblasts were increased while necrotic tissue was not as much as in the 5-FU treated group. We conclude that Zn addition modulates healing of colonic anastomosis by counteracting the negative effect of 5-FU.

Key words: **Colon anastomosis, 5-Fluorouracil, zinc, histopathology**

sonra özellikle yüksek lokal rekürrens oranlarına rastlanması, araştırmaları cerrahiye destek olarak kemoterapi kullanma yönünde artırılmıştır (1). Kemoterapotik ilaçların sistemik yolla verilmesi ile elde edilen sonuçlar çok başarılı değildir. Lokal ve regional rekürrensleri önlemeye bugün için kabul edilen en iyi yol erken postoperatif dönemde intraperitoneal kemoterapidir (İPK) (2). Abdominal kavite içinde yayılan tümör hücreleri fibrin ile kaplandıkları için sistemik tedaviden et-

kilenmezler bu nedenle İPK ile hem rezeksiyon yeri, hem de peritoneal yüzeyler tamamen kemoterapotik ajanla temas haline geçerler. Ayrıca İPK yolu ile sistemik toksisite dozunu aşmadan daha yüksek lokal ilaç konsantrasyonu sağlanabilir (3). Kemoterapotik ajanlar yalnızca malign hücrelere etki etmekle kalmaz ayrıca cerrahi yaraların iyileşmesi üzerine de negatif etki gösterirler (4). Bu nedenle bu tedavi şeklinde anastomoz kaçağının gelişme şansı yüksektir. İPK yolu ile en çok uygulanan ilaçlardan biri 5-FU'dur. 5-FU'nun yara iyileşmesi üzerindeki etkisi ile ilgili yapılan deneysel çalışmalarla çelişkili sonuçlar rapor edilmiştir (1,3).

Eser elementlerden biri olan Zn'nin hem birçok metalloenzimin yapısına katılması, hem de nükleik asit ve protein sentezinde görev alması nedeni ile kollajen sentezindeki rolü bilinmektedir. Yara iyileşmesindeki en önemli aşamalardan biri de kollajen sentezidir. Daha önce yapılan çalışmalar da Zn eksikliğinin yara iyileşmesini olumsuz yönde etkilediği, Zn verildiği zaman iyileşmenin hızlandığı gösterilmiştir (5).

Ancak hastalara intraperitoneal (IP) yolla Zn ilavesi yapıldığında, 5-FU'nun yara iyileşmesi üzerine olan negatif etkisini ne yönde değiştirdiğine dair bir çalışmaya literatürde rastlanmamıştır.

Bu deneysel çalışmada IP 5-FU tedavisi ile birlikte Zn verilmesinin, kolon anastomozlarında cerrahi sonrası erken dönemde yara iyileşmesini nasıl etkilediğini araştırmak amaçlanmıştır.

GEREÇ ve YÖNTEM

Çalışmada ağırlıkları 2500-3500 gram arasında ve aynı yaşıta olan Yeni Zellanda cinsi 32 adet tavşan kullanıldı. Hayvanlar 8'erli 4 gruba ayrıldı. Ancak çalışma süreci içersinde kontrol ve Zn alan gruplardan birer adet, 5-FU ve 5-FU+Zn alan gruplardan ikişer adet tavşan öldü, bu nedenle çalışmadan çıkarıldı. Tüm tavşanlarda Dessendan kolonda peritoneal refleksiyonun 10 cm. proximalinden 1 cm'lik kolon segmenti çıkarıldıktan sonra serbest iki uç 5/0 prolen ile tek kat ucuca anastomoz edildi. Çıkarılan 1cm'lik sigmoid kolon parçası preoperatif doku Zn seviyesinin ölçülmesi amacıyla saklandı. Intraperitoneal tedavide kullanılmak üzere cut-down kateteri, bir ucu cilt altı ile rektus kası arasında, diğer ucu da periton içerisinde serbest olacak şekilde yerlesti-

rildi. Karın duvarı 2/0 atravmatik ipek sütur kullanılarak, tek kat halinde kapatıldı. Postoperatif 0. gün kükürv还以为是tavşanlara, 1. gün su, 3. gün pelet gıda başlandı. Postoperatif 0. günden itibaren intraperitoneal olarak yerleştirilen kateden 5 gün süre ile, 24 saatte tek doz halinde aşağıdaki enjeksiyonlar yapıldı.

1. Gruba 10 ml. Serum Fizyolojik
2. Gruba 10 mg/kg 5-FU
3. Gruba 2 mg/kg Zn
4. Gruba 10 mg/kg+2mg/kg
- 5- FU+Zn

7.gün hayvanlara intraperitoneal yüksek doz sodium pentobarbital verilerek öldürülüktenden sonra karın duvarı açıldı. Sol kolon adezyonlardan dikkatli bir şekilde temizlendikten sonra distalde peritoneal refleksiyonun hemen üzerinden, proximalde anastomozun yaklaşık 10.cm yukarıından kesilerek anastomoz segmenti çıkarıldı. Sonra mezenterik sınırdan disseke edilerek segment yalnız bir hale getirildi.

Anastomoz hattının patlama basıncı aşağıda anlatılan teknikle ölçüldü. Daha sonra anastomoz mezenterik kenardan açılarak anastomoz hattını da içine alacak şekilde uzunlamasına şerit halinde 4 adet doku örneği alındı. Alınan doku örnekleri ışık ve elektron mikroskopu için rutin takibe alındı. Geri kalan doku örnekleri ise sırasıyla doku Zn tayini ve doku hidroksiprolin tayini için -20 °C derin dondurucuda muhafaza edildi.

1. Patlama basıncı (bursting pressure): Çıkarılan kolon parçasının, bir tarafına havalı tansiyon aletinin skala kısmı, diğer tarafına pompa kısmı adapte edilerek ipekler ile sıkıca bağlandı. İçi su dolu kaba, anastomozlu barsak segmentini içeren sistem bastırılarak yavaş yavaş şişirildi. Hava kabarcığının çıktıığı andaki sfingomanometredeki mmHg basıncı patlama basıncı olarak ölçüldü kaydedildi.

2. Dokuda hidroksiprolin ölçümü: Anastomoz hattındaki hidroksiprolin düzeyi Wossner F. tarafından belirtilen yöntem ile ölçüldü (6). Bu yöntemde göre solüsyonların abzorbansı spektrofotometrik olarak 557 mm' da tayin edildi. Hidroksiprolin değerleri direkt olarak standart eğriden mgr/mg değerinden ölçüldü.

3. Dokuda çinko ölçümü: Cam tüplerdeki yaş doku 110 °C de etüvde 40 dakika süreyle bekleti-

lerek tartıldı. Son ölçümdeki değer bir önceki değerle aynı oluncaya kadar bu işleme devam edildi ve bu şekilde kuru doku ağırlığı elde edilmiş oldu. Zn ölçümü için en az 1 gr. kuru doku gerektiğinden 1 gr.'ın altındaki bir örnek ölçüm dışı bırakıldı. Diğer örneklerdeki doku Zn düzeyleri "Diferansiyel Puls Polarografisi" yöntemi ile ölçüldü.

4. Histolojik inceleme:

a-İşik Mikroskobu: Alınan doku örneği %10 luk formaldehitte fiks edildikten sonra alkol serilerinden geçirilerek dehidrate edildi ve parafine gömülüdü. Hematoksilen eozin ve acide fucsin-anilin blue boyası ile kollajen fibrilleri gösterildi. İşik mikroskopu ile, anastomoz hattı ve yara kenarlarının incelenmesi sonucu bu bölgenin morfolojik özelliklerini Zuidewijn R. ve ark. tarafından oluşturulan skorlama sistemi ile değerlendirildi (7).

b- Elektron Mikroskobu: Sörenson fosfat tamponda %2.5 gluteraldehyde solüsyonu içerisinde dokular fixe edildi. Daha sonra % 0.1 OsO₄ ile post-fikasasyondan sonra dehidratasyon için alkol serilerinden geçirildi ve Araldit' e gömülüdü. Alınan ince kesitler uranyl acetat - kurşun sitrat ile boyandı. Zeis EM 9S elektron mikroskobunda incelendi ve fotoğrafları alındı. Bu yöntem ile fibroblast aktivitesi ve kollajen dağılımı incelendi.

Çalışma grupları arasındaki istatistiksel değerlendirmeler, SPSS for Windows ile yapıldı ve $p < 0.05$ olan değerler istatistiksel olarak anlamlı kabul edildi. Grublar arasındaki ikişerli karşılaştırmalar Mann-Whitney U testi ve Students t testi ile yapıldı (8).

BULGULAR

Patlama basıncı ölçümleri (mm Hg)

Gruplardaki patlama basınç (PB) değerleri Tablo 1' de ve şekil 1'de gösterilmiştir.

5-FU grubunun PB değerleri kontrol grubuna göre anlamlı derecede düşük olarak bulundu ($p:0.048$). Zn grubundaki değerler kontrol grubuna göre anlamlı olarak yükseltti ($p:0.002$). 5-FU + Zn grubu ile 5-FU grubu arasında da istatistiksel bir anlamlılık bulundu ($p:0.0142$). Hidroksiprolin ölçümleri (mg/mg).

Grupların hidroksiprolin değerleri Tablo 2'de ve Şekil 1'de verilmiştir. 5-FU grubunda, kontrol grubuna göre hidroksiprolin düzeyi anlamlı olarak düşük bulunurken ($p:0.015$), Zn grubu ile kontrol grubu arasında anlamlı bir istatistiksel fark saptanmamıştır ($p:0.56$). 5-FU+Zn grubundaki değerlerle 5-FU grubu arasında ise istatistiksel bir anlamlılık saptanmıştır ($p: 0.054$).

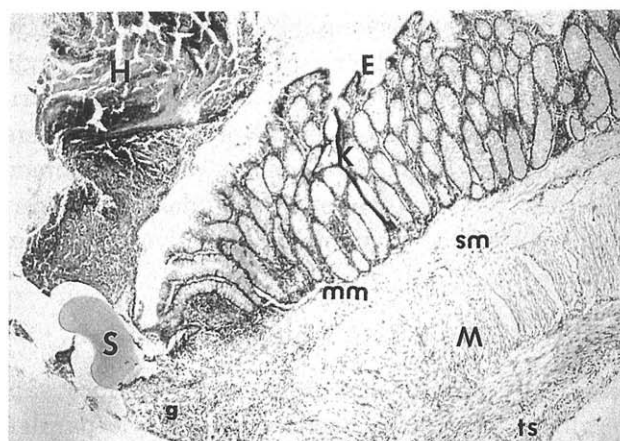
IŞIK MİKROSKOBU BULGÜLARI

Kontrol grubundan anastomoz bölgesinden alınan kesitlerde Goblet hücrelerinden zengin prizmatik örtü epiteli ve altında çok sayıda Liberkühn kriptaları gözlandı, Liberkühn kriptalarını çevreleyen ince bir lamina propria ve belirgin bir muskularis mukoza ile hemen altında yer alan, gevşek bağ dokusu yapısındaki submukoza tüm özelliklerıyla normal kolon duvarı yapısını gösteriyordu. Defekt hattının komşuluğunda operasyona bağlı olduğu düşünülen hematom alanları çoğu kesitte izlendi. Bunların yanısıra yine aynı bölgede lamina propria iltihabi hücre infiltrasyonları da saptanmıştır.

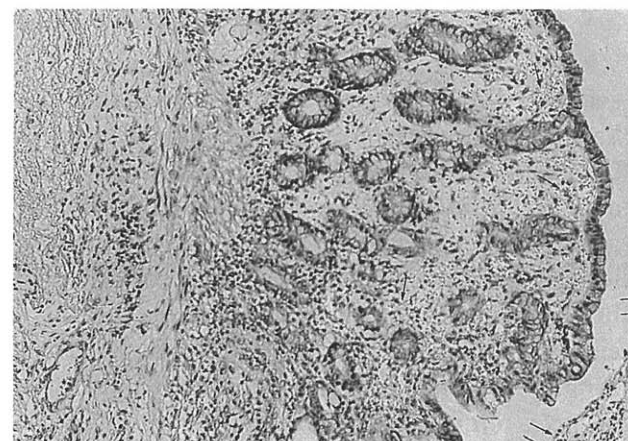
Tablo 1. Her denek için patlama basıncı ölçümleri ve gruplara göre ortalama değerler (mm Hg)

Denek No	Kontrol (n:7)	5-FU (n:6)	Zn (n:7)	5-FU + Zn (n:6)
1	6	8	10	8
2	5	5	11	6
3	9	4	9	8
4	6	5	11	12
5	7	6	13	10
6	8	4	10	8
7	8	-	10	-
Ortalama değerler	7 (± 1.4)	5.3 (± 1.5)	10.5 (± 1.2)	8.6 (± 2.0)

Kontrol- 5-FU p: 0.048
 Kontrol- Zn p: 0.002
 5-FU -5-FU+Zn p: 0.014



Resim 1. Kontrol grubundan alınan kesitte kolon duvarına ait normal yapı ve düzende örtü epители (E) ve Liberkühn kriptaları (k), mukozası mukoza (mm), submukozası (sm), ve tunica muskularis (M) ile tunika seroza (ts) seyrılmektedir. Cerrahi girişimin yapıldığı bölgeyi gösteren sutür materyali (S) ve her iki yanında iltihabi granülasyon dokusu (g) seyrılmektedir. Sutürün solunda granülasyon dokusunun yakın komşuluğunda operasyona bağlı hematoma (H) oluşumu izlenmektedir. Epitel örtü sadece sağlam dokunun üzerindedir defekt bölgesinde yoktur (H.E. X40).



Resim 2. 5-FU grubunun yüzey epitelii altında lamina propria'da yaygın eritrosit ekstravazasyonu (ok) ve eksudatif bağ dokusu görüntüsü izlenmektedir. Defekt bölgesinde ise epitelizasyonun gerçekleşmediği gözlenmektedir (çift ok) (H.E., X10).

piknotik çekirdekli dejeneratif hücrelerin yanı sıra kan göllenmesi nedeniyle küçük çaplı damarlarda oldukça yaygın konjesyon izlendi. Venüllerde daha belirgin olmak üzere damarlardaki konjesyon bölgedeki tüm damar türlerinde yaygın olarak gözlandı. Özellikle lamina propria'da belirgin olan konjesyonun yanı sıra dokunun eksudasyona bağlı olarak ileri derecede ödemli olduğu ve çok sayıda damar dışına sızmış eritrositlerin bulunduğu dikkati çekti. Gevşek bağ dokusunda izlenen iltihabi hücre infiltrasyonunun özellikle nötrofillerden zengin olduğu saptandı (Resim2).

Zn grubunu oluşturan tavşanların kolonlarında, anastomoz bölgesindeki örtü epители restorasyonunun hayvanların coğunuğunda tamamen, bazılırında ise kısmen tamamlandığı gözlandı. Yüzey epители, genelde tek katlı prizmatik epitel olup aralarında bol goblet hücreleri içeriyordu ancak

yonu ve artmış damarları ile tanımlanan genç olgunlaşmakta olan granülasyon dokusu niteliklerini taşıdığı görüldü. Tunika muskularis tabakasını oluşturan sirküler ve longitudinal kas katmanlarının, sutürlerin her iki tarafında da bölgenin yakınına kadar geldiği ancak operasyondan bir hafta sonra alınmış olan tüm doku örneklerinin tümünde de henüz devamlılık kazanmadığı dikkati çekti (Resim 1).

5-FU grubunu oluşturan tavşanların kolon örneklerinde ise oldukça dejeneratif bir görünüm hakimdi. Anastomoz bölgesinde alınan kesitlerde sutür materyalinin komşuluğunda oldukça yaygın, nekroza giden alanlar saptandı. Bu alanlarda

Tablo 2. Her denek için post operatif 7. gündeki gruplara göre ortalama değerler ($\mu\text{gr}/\text{mg}$)

Denek No	Kontrol (n:7)	5-FU (n:6)	Zn (n:7)	5-FU + Zn (n:6)
1	8.10	6.90	13.30	8.10
2	10.00	6.00	11.20	9.60
3	9.40	6.60	7.90	8.00
4	7.50	8.20	8.30	7.10
5	8.40	8.30	9.10	9.60
6	12.10	7.00	6.90	8.50
7	8.40	-	5.10	-
Ortalama değerler	9.1 (± 1.5)	7.1 (± 0.9)	8.8 (± 2.7)	8.4 (± 0.9)

Kontrol- 5-FU p: 0.015
 Kontrol- Zn p: 0.560
 5-FU -5-FU+Zn p: 0.054

epitelizasyonun yeni oluştugu bölgelerde henüz tek katlı kübik ya da tek katlı alçak kübik epitel şeklinde olduğu ve goblet hücresi içermemiği dik-katı çekti. Operasyon bölgesinde yüzey epitel örtüsü altında yer alan kriptaların derinlik yönünden birbirinden farklı ve sayıca az oldukları gözlandı. Bazı yeni kripta lümen çaplarının diğerlerine oranla çok daha büyük olduğu açıkça görülmüyordu. Bunların yanı sıra epitel altı bağ dokusunun oldukça gevşek örgülü, damardan çok zengin ve mononukleer iltihabi hücre infiltrasyonu gösteren olgunlaşmakta olan granülasyon dokusu özelliği gösterdiği saptandı. Tunika muscularis oluşturan sirküler ve longitudinal kas tabakaları kontrol grubunda olduğu gibi defekt yerinin iki tarafında da kesintiye uğramakta ve devamlılık göstermemekte idi. Tunika seroza ise yine kollajen lifler ve bağ dokusu hücrelerinden zengin bir yapıya sahipti (Resim 3).

5-FU + Zn grubunun kesitleri dejeneratif doku örnekleri ile birlikte rejenerasyon bulguları da göstermektedir. Tam defekt bölgesinde yüzey epitel

örtüsünün restorasyonu çoğu hayvanda neredeyse tümüyle tamamlanmıştır. Epitelin derinlerinde uygulanan cerrahi teknike bağlı olarak içe kıvrılarak sıkışan dejeneratif epitel örtüsü ve dejeneratif kriptalar gözlandı. Bu dejeneratif yapıların hemen iki yanında ise aktif granülasyon dokusunun varlığı tüm özellikleriyle birlikte izleniyordu (Resim 4).

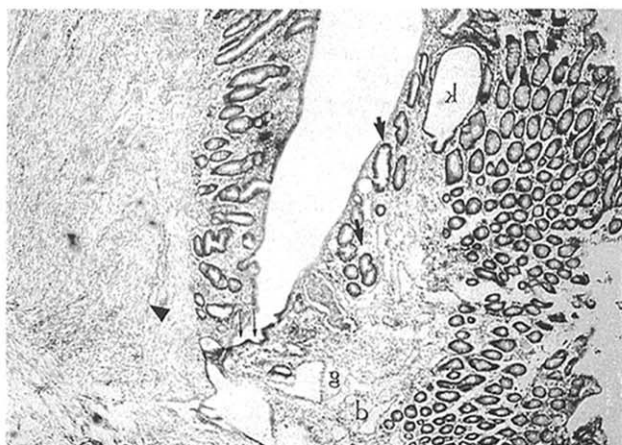
ELEKTRON MİKROSKOBU BULGULARI

Kontrol grubunu oluşturan örneklerin ince yapı özellikleri ışık mikroskopu gözlemleriyle paralellik gösteriyordu. Gevşek bağ dokusu yapısındaki lamina propria'da mononükleer hücreler ve fibroblastlar görüldü. Hücrelerin arasında yer yer kollajen fibril demetleri ve kapillerler izleniyordu.

5-FU grubunda gevşek bağ dokusunda yer alan çoğu hücrede ileri derecede yozlaşmayı sergileyen ince yapı değişimleri gözlandı. Bu hücrelerde çekirdek yapısının bozulduğu, kromatinin çözülmeye gittiği yer yer bölgesel olarak kaba kümeler halinde toplandığı izlendi. Bu hücrelerin arasında

Tablo 3. Zuidewijn skorlama sistemi ile grupların histolojik olarak değerlendirilmesi ve istatistiksel olarak karşılaştırılması

Morfolojik Özellikleri	Kontrol (n:7)	5-FU (n:6)	Zn (n:7)	5-FU + Zn
Yara kenarı mukoza	İyi (n) Orta (n) Kötü (n)	1 4 2	- 1 5	3 4 -
Yara kenarı muskuler-tabaka	İyi (n) Orta (n) Kötü (n)	- 4 3	- -	- 5 2
Epitel (Ort. Puan)	0.85	0	5.14	3.83
<i>Kontrol-5-FU p:0.035</i>		<i>Kontrol-Zn p:0.001</i>	<i>5-FU -5-FU +Zn p:0.002</i>	
Nekroz (n)	1/7	3/7	0/7	1/7
Eksuda (Ort. Puan)	0.14	2.1	0.28	0.33
<i>Kontrol-5-FU p:0.016</i>		<i>Kontrol-Zn p:0.053</i>	<i>5-FU -5-FU +Zn p:0.074</i>	
Granülasyon (Ort. Puan)	2.57	1.5	2.57	2.50
<i>Kontrol-5-FU p:0.011</i>		<i>Kontrol-Zn p:1.00</i>	<i>5-FU -5-FU +Zn p:0.019</i>	
Ödem (Ort. Puan)	0.25	1.5	0.75	0.66
<i>Kontrol-5-FU p:0.006</i>		<i>Kontrol-Zn p:0.122</i>	<i>5-FU -5-FU +Zn p:0.030</i>	
Histiosit (Ort. Puan)	2.25	1.25	2.0	2.0
<i>Kontrol-5-FU p:0.004</i>		<i>Kontrol-Zn p:0.141</i>	<i>5-FU -5-FU +Zn p:0.005</i>	
Fibroblast (Ort. Puan)	2.42	1.0	3.0	3.0
<i>Kontrol-5-FU p:0.001</i>		<i>Kontrol-Zn p:0.022</i>	<i>5-FU -5-FU +Zn p:0.000</i>	
Inflamatuar (Ort. Puan)	Hücre <i>Kontrol-5-FU p:0.001</i>	2.57 <i>Kontrol-Zn p:1</i>	-0.83 <i>5-FU -5-FU +Zn p:0.002</i>	2.57 <i>5-FU -5-FU +Zn p:0.002</i>
Kan Damarları (Ort. Puan)	2.42 <i>Kontrol-5-FU p:0.032</i>	- <i>Kontrol-Zn p:0.60</i>	1.66 <i>5-FU -5-FU +Zn p:0.030</i>	2.57 <i>5-FU -5-FU +Zn p:0.030</i>

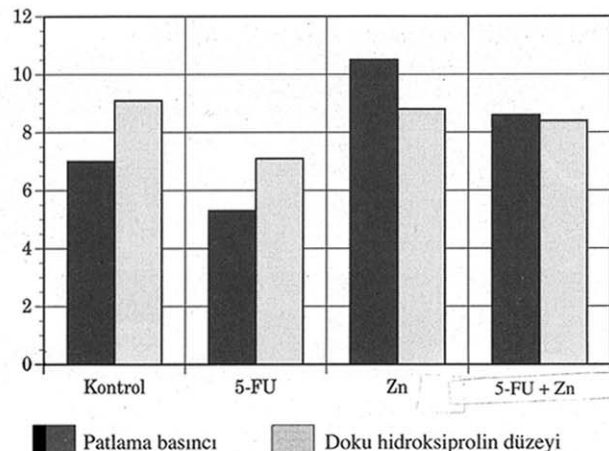


Resim 3. Zn grubunun anastomoz bölgesindeki sol tarafta epitel ve kriptalar normal yapı ve düzende görülmekte birlikte tam defekt bölgesinde, restorasyonun tümüyle tamamlandıktan sonra yeni yüzey epitel örtüsü (çift ok), ile hemen altında derinlikleri ve sayıları az, gelişmekte olan kriptalar izlenmektedir (ok). Arada normalden daha büyük lumeni olan kriptalar (k) dikkat çeken özelliktedir. Aynı bölgeye uygun lamina propria bağ dokusunun olgunlaşma sürecindeki bir granülasyon dokusu (g) özelliği gösterdiği dikkati çekmektedir. Özellikle kan damarlarından (d) ve hücreden zengin bir görünümündedir. Ancak tunika muscularis tabakasında doku bütünlüğünün defekt bölgesinde sağlanamamış olduğu ve kesinti gösterdiği (ok başı) seçilmektedir (H.E.X4).

bol sayıda nötrofillere de rastlanıldı. Kollajen demetler daha önceki gruba göre daha az yoğun idi.

Zn grubunun lamina propria'sında yer alan bol infiltratif hücrelerin arasında çok sayıda aktif fibroblastlar ve yoğun kollajen fibril demetleri göz-

Grafik 1. Gruplarda patlama basınçları ve doku hidroksiprolin düzeyleri



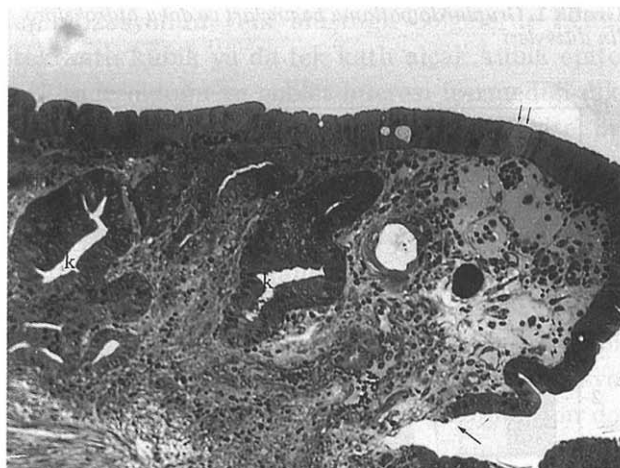
lendi. Hücre aktivasyonunu gösterir biçimde belirgin ökromatinden zengin iri çekirdeği ve hücre sitoplasmalarında genişlemiş sisternaları ile bol granüllü endoplazma retikulumları dikkat çeken (Resim 5).

5-FU+Zn grubunda ince yapı özellikleri aynı gruba ait ışık mikroskopik gözlemleri destekler özellikle idi. Gevşek bağ dokusundaki mononükleer hücrelerin arasında bol kollajen fibril demetler ve hemen yakın komşuluğunda aktif fibroblastlar gözlemlendi.

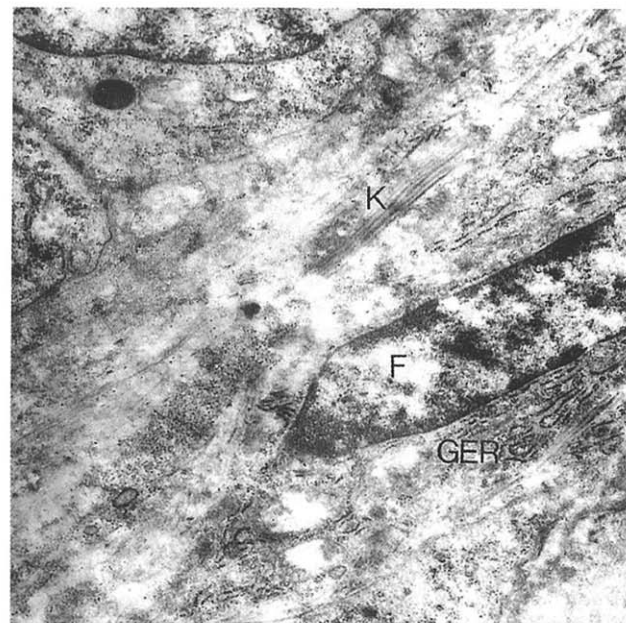
Tablo 4. Grupların preoperatif ve postoperatif doku Zn düzeylerinin karşılaştırılması (MZN/100 mgr)

Denek sıra no:	Kontrol grubu		5-FU grubu		Zn grubu		5-FU+Zn grubu	
	Preop. Zn	Postop Zn						
1	$3.95 \cdot 10^{-7}$	$6.90 \cdot 10^{-7}$	$5.34 \cdot 10^{-7}$	$3.00 \cdot 10^{-7}$	$6.36 \cdot 10^{-7}$	$2.76 \cdot 10^{-6}$	$4.52 \cdot 10^{-7}$	$1.10 \cdot 10^{-6}$
2	$3.90 \cdot 10^{-7}$	$7.00 \cdot 10^{-7}$	$6.00 \cdot 10^{-7}$	$3.20 \cdot 10^{-7}$	$6.40 \cdot 10^{-7}$	$3.00 \cdot 10^{-6}$	$5.00 \cdot 10^{-7}$	$1.00 \cdot 10^{-6}$
3	$3.70 \cdot 10^{-7}$	$7.10 \cdot 10^{-7}$	$5.50 \cdot 10^{-7}$	$3.70 \cdot 10^{-7}$	$7.00 \cdot 10^{-7}$	$4.00 \cdot 10^{-6}$	$3.00 \cdot 10^{-7}$	$2.00 \cdot 10^{-6}$
4	$3.85 \cdot 10^{-7}$	$6.95 \cdot 10^{-7}$	$5.60 \cdot 10^{-7}$	$2.95 \cdot 10^{-7}$	$6.50 \cdot 10^{-7}$	$3.84 \cdot 10^{-6}$	$4.84 \cdot 10^{-7}$	$1.05 \cdot 10^{-6}$
5	$3.80 \cdot 10^{-7}$	$7.30 \cdot 10^{-7}$	$5.80 \cdot 10^{-7}$	$3.50 \cdot 10^{-7}$	$6.80 \cdot 10^{-7}$	$5.00 \cdot 10^{-6}$	$5.40 \cdot 10^{-7}$	$2.44 \cdot 10^{-6}$
6	$4.00 \cdot 10^{-7}$	$7.50 \cdot 10^{-7}$	$5.30 \cdot 10^{-7}$	$3.90 \cdot 10^{-7}$	$7.15 \cdot 10^{-7}$	$3.80 \cdot 10^{-6}$	$4.44 \cdot 10^{-7}$	$1.50 \cdot 10^{-6}$
7	$3.95 \cdot 10^{-7}$	$7.00 \cdot 10^{-7}$	-	-	$7.30 \cdot 10^{-7}$	-	-	-
Ortalama değer	$3.90 \pm 0.10 \cdot 10^{-7}$	$7.00 \pm 0.12 \cdot 10^{-7}$	$5.55 \pm 0.27 \cdot 10^{-7}$	$3.35 \pm 0.38 \cdot 10^{-7}$	$6.80 \pm 0.37 \cdot 10^{-7}$	$3.84 \pm 0.73 \cdot 10^{-6}$	$4.68 \pm 0.82 \cdot 10^{-7}$	$1.35 \pm 0.57 \cdot 10^{-6}$

Kontrol grubu Preoperatif Zn - Postoperatif Zn p: 0.0006
 5-FU grubu Preoperatif Zn - Postoperatif Zn p: 0.0022
 Zn grubu Preoperatif Zn - Postoperatif Zn p: 0.0006
 5-FU+Zn grubu Preoperatif Zn - Postoperatif Zn p: 0.0022



Resim 4. 5-FU + Zn grubunda yer yer goblet hücrelerinin arasında yerlestiği normal yapı ve düzende görülen tek katlı prizmatik epitel (çift ok) ve neredeyse kapanmak üzere olan ve henüz tek katlı kübik epitel görünümündeki yeni oluşan epithel hücreleri (ok) seçilmektedir. Yine yeni olmuşlu izlenimi veren değişik derinlik ve genişlikteki kriptaların (k) yanı sıra hücre infiltrasyonu ve vaskülarizasyon gözlenmektedir. (Metilen blue-azur II, X10).



Resim 5. Zn grubundan alınan elektronmikrografda lamina propriadaki kollajen liflerin hemen komşuluğunda yer alan aktif bir fibroblast görülmektedir. Ökromatik çekirdeği ve sitoplazmasında geniş sisternaları ile bol sayıda granüllü endoplazma retikulumları seçilmektedir. GER: Granüllü endoplazma retikulumu, F: aktif fibroblast, K: kollajen (üraniyl asetat - kurşun sitrat, x 2500).

HİSTOPATOLOJİK PUANLAMA

Işık mikroskoplu bulguları Zuidewjin R. ve ark. tarafından oluşturulan skorlama sistemi ile her grup ve her denek için ayrı ayrı puanlandı (Tablo 3-6). Grubların ortalama sonuçları Tablo 7'de verilmiştir.

5-FU grubunda kontrol grubuna göre nekroz, ek-suda ve ödemin ön planda olduğu dikkati çekti. Epitel (p: 0.035), granülasyon (p: 0.011), fibroblast (p: 0.001), inflamatuar hücre (p:0.001), kan damarları (p: 0.032) gibi histolojik parametrelerde de kontrol grubu ile anlamlı bir farklılık saptandı. Zn kullanılan gruptarda özellikle epiteli-zasyonun ve fibroblast hücrelerinin artmış olduğu görüldü. Kontrol grubu ile Zn grubu karşılaştırıldığında epitelizasyon (p: 0.001) ve fibroblast miktarında (p: 0.022) istatistiksel bir anlamlılık bulundu. 5-FU ile 5-FU + Zn grubu arasında epitel (p:0.002), fibroblast (p:0.013), granülasyon (p:0.019), histiyosit (p:0.005), inflamatuar hücre (p:0.002), kan damarları (p:0.030), ödem (p:0.030) gibi histolojik parametrelerde istatistiksel anlamlılık mevcutken, nekrozda (p:0.241) anlamlı bir değişiklik saptanamadı.

Dokudaki Zn Ölçümleri (Mol Zn/100 mgr) Grupların operasyon sırasında ve postoperatif 7. günde alınan barsak örneklerindeki Zn değerleri Tablo 8'de verilmiştir. Kontrol grubunda preoperatif do-

kudaki ortalama Zn düzeyi $3.90 \cdot 10^{-7}$ Mol Zn/ 100 mg iken, 7. günde alınan kolon parçasında $7.00 \cdot 10^{-7}$ Mol Zn/ 100 mg olduğu saptandı ($p: 0.006$). Bu yükselseme Zn verilen gruptarda da gözleendi. Zn ve 5-FU + Zn gruptlarında 7. gün alınan kolon parçasında toplanan Zn miktarı operasyon öncesine göre 10 kat fazla idi. 5-FU grubunda ise ameliyat sonrası alınan doku parçasında Zn miktarının istatistiksel olarak anlamlı azaldığı ($p: 0.0022$) saptandı.

TARTIŞMA

Malign kolorektal tümörlerin tedavisinde cerrahi sonrası sistemik 5-FU kullanımı bugün için vazgeçilmez bir tedavi yöntemidir. Ancak kolorektal kanserde lokal nüksün sıklığı adjuvan kemoterapide değişik yöntemlerin aranmasına yol açmıştır. Bunun sonucu intraperitoneal (IP) kemoterapi uygulama alanına girmiş ve beraberinde çeşitli tartışmaları da getirmiştir. Bu yolla en sık kullanılan kemoterapotik ajan tek başına veya kombinasyon olarak 5-FU dur. 5-FU'nun çoğalma özelliği gösteren hücreler üzerine hem DNA hem de RNA sentezini bozarak sitotoksik etki gösterdiği bilinmektedir (9). Bu etkiden dolayı 5-FU'nun yara

iyileşmesini geciktirdiği ve kolon anastomozunu kötü yönde etkilediğini gösteren (2,10-14) deneysel çalışmalar yanında, aksini savunan yayınlar da (15,16-19) vardır. İP 5-FU' nun yara iyileşmesi üzerine etkisi ile ilgili çelişkili sonuçların elde edilmesinin 5-FU'nun kümülatif dozundaki değişikliklere veya deney dizaynındaki farklılıklara bağlı olabileceği düşünülmektedir (11). Klinik çalışmaların bir kısmında 5-FU'nun yara iyileşmesini geciktireceği, yara ile ilgili komplikasyonları artıracağı bu nedenle tedaviye postoperatif 15.günden sonra başlanması gerektiği bildirilmiştir (20). Öte yandan klinik uygulamalarda gerek peroperatuar gerekse de erken postoperatuar 5-FU'nun sistemik olarak verilmesinin veya barsak lümenine verilmek suretiyle kullanılmasının ameliyat sonrası insizyon ve anastomoz iyileşmesi üzerinde herhangi bir olumsuz etkisinin olmadığı savunulmaktadır (21).

Çalışmamızda ortalama patlama basıncının 5-FU alan deneklerde kontrol grubuna göre anamlı olarak azaldığı saptanmıştır ($p:0.048$). Patlama basınçlarında elde edilen bulguları destekleyen bir diğer ölçü ise ışık mikroskopu görüntüleri olmuştur. 5-FU alan deney hayvanlarının hiçbirinde anastomoz bölgesi üzerinde epitel bulunmadığı ve epitel dokusunun devamlılığının sağlanamadığı, hepsinde nekroza giden alanlar olduğu, lamina propria da belirgin bir konjesyon ve ödemin varlığı saptanmıştır. Gevşek bağ dokusu içerisinde izlenen iltihabi hücre infiltrasyonunun kontrol grubundaki kadar yoğun olmaması ve özellikle nötrofil ağırlıklı olması izlenen granülasyon dokusunun kontrol grubuna oranla daha genç bir devrede olduğunu göstermiştir. Bu bulguların Zuidewjin R. ve arkadaşları (7) tarafından oluşturulan skorlama sistemi ile değerlendirilmesinde; 5-FU grubunda kontrol grubuya karşılaştırıldığında epitelizasyon ($p:0.035$), granülasyon ($p:0.011$), histiyosit ($p:0.004$), fibroblast ($p: 0.001$), inflamatuar hücre ($p:0.001$) ve kan damarları ($p:0.032$) gibi parametrelerde belirgin azalma saptanmıştır. Elektron mikroskopik incelemede ise kollajen demetlerin daha az yoğun olduğu, gevşek bağ dokusunda yer alan hücrelerde bozulma olduğu gözlenmiştir.

Yara iyileşmesini gösteren biokimyasal parametrelерden biri olan hidroksiprolin düzeylerinin 5-FU grubunda kontrol grubuna göre anamlı olarak ($p:0.015$) düşük bulunması da kollajen yapı-

minin az olduğunu ve yara iyileşmesinin zayıf olduğunu göstermektedir. Tüm bu bulgular antimetabolit grubu ilaçlardan 5-FU'nun yara onarımını olumsuz yönde etkilediği hipotezini doğrulamaktadır.

Zn'nun yara iyileşmesi üzerine etkisi ilk olarak Strain H. ve arkadaşları tarafından 1950'li yılların ortasında tanımlanmıştır (22). Yapılan deneysel çalışmalarla deri (23), kemik (24), jinjiva ve gastrik mukoza (25) gibi bir çok yaralı dokunun iyileşmesinde Zn'nun etkili olduğu gösterilmiştir. Bu çalışmalarla yaralı dokudaki Zn düzeyinin özellikle yaralanmanın ilk birkaç günü içerisinde arttığı ortaya konmuştur (26-28). Bizim çalışmamızda da kontrol grubunda 7. günde alınan anastomoz parçasında Zn düzeyi yaklaşık 2 katı yüksek saptanmıştır ($p:0.0006$). Zn ve 5-FU+Zn grublarından alınan kolon parçalarında ise bu artış 10 katı olmuştur. Bu yükselmenin yalnızca 5-FU alan grupta olmaması 5-FU'nun olumsuz etkilerine bağlı olabileceğini düşündürdü.

Zn düzeyi normal hayvanlarda ilave verilen Zn'nun yara iyileşmesini hızlandırdığı (24) ancak Zn'dan fakir diyetle beslenen kontrol hayvanlarında iyileşmeyi hızlandırdığı gösterilmiştir (29,30). Bu çalışmada deneyel olarak Zn eksikliği oluşturmayaarak, Zn düzeyi normal olan ve beslenme bozukluğu olmayan hayvanlarda İP Zn ilavesi ile meydana gelebilecek değişikler saptanmaya çalışılmıştır.

Zn verilen grupta; ortalama patlama basıncı kontrol grubuna göre anamlı olarak yüksek çıkmıştır ($p:0.002$). Dokular ışık mikroskopu ile incelendiğinde epitelizasyonun hayvanların çoğu tamamlandığı, epitel altı bağ dokusunun damardan çok zengin ve mononukleer hücre infiltrasyonu gösteren granülasyon dokusu özelliğinde olduğu, tunica serosa'nın ise kollajen liflerden ve bağ dokusu hücrelerinden zengin bir yapıya sahip olduğu saptanmıştır. Ancak yara kenarındaki musküler tabakanın anastomozun iki tarafında da kesintiye uğraması musküler rejenerasyonun 100.günde tamamlanması nedeni ile normal kabul edilmiştir. Bu bulgular histopatolojik skorlama sistemi ile değerlendirildiğinde epitelizasyon ($p:0.001$) ve fibroblast sayısında ($p:0.022$) belirgin bir artış gözlenmiştir. Diğer parametrelerde kontrol grubu ile Zn grubu arasında anamlı bir fark saptanmamıştır. Bu sonuçlar Hallmans G. ve arkadaşları'nın çalışması (31) ile ben-

zer olarak Zn'nun, Zn düzeyi normal olan hayvanlarda yara iyileşmesinin yalnızca epitelizasyon aşamasında etkili olduğunu göstermiştir. Patlama basıncının anlamlı olarak yüksek bulunmasına rağmen hidroksiprolin düzeylerinin bunu desteklememesi ($p:0.560$) yara iyileşmesinin kollajen birikimi aşamasının etkilenmediğini düşündürmektedir.

5-FU+Zn grubunda ise, 5-FU'nun yara iyileşmesi üzerine olan olumsuz etkilerinin Zn ile ortadan kalktığı saptandı. Yalnızca 5-FU verilen grupta ortalama patlama basıncı Zn ilave edilen gruba göre anlamlı olarak düşük idi ($p:0.014$). Histolojik olarak 5-FU grubunda gözlenmeyen yüzey epitel örtüsü, Zn ilave edilen grupta gözlenmekte ve nerede ise çoğu hayvanda tümü ile tamamlanmaktadır. Dokuda ödem 5-FU alan gruba oranla daha az idi. Lamina propria, submukoza ve seroza bağ dokularında kollajen demetlerde belirgin bir artış olduğu açıkça gözlendi. Histolojik bulgular skorla-

ma sistemine göre değerlendirildiğinde 5-FU+Zn alan grupta epitelizasyon ($p:0.002$), granülasyon ($p:0.019$), histiyosit ($p:0.005$), fibroblast ($p:0.000$), inflamatuuar hücre ($p:0.002$) ve kan damarlarında ($p:0.030$) 5-FU alan gruba göre anlamlı derecede artma mevcut idi. Nekroz ve ödem'in belirgin derecede azaldığı gözlendi. Elektron mikroskop bulguları da ışık mikroskopunu desteklemektedir. Hidroksiprolin düzeyleri karşılaştırıldığında ise 5-FU+Zn grubunda daha yüksek bir ortalama değer saptandı ($p:0.054$). Bu bulgularla 5-FU ile birlikte İP Zn tedavisinin anastomoz iyileşmesini olumlu yönde etkileyeceği sonucuna varıldı.

Zn'nun 5-FU'nun olumsuz etkilerini hangi aşamada kaldırdığını saptamak amacıyla yeni deneySEL çalışmalarına ihtiyaç vardır. Diğer taraftan İP kullanımda Zn'nun belirgin yan etkisi saptanamamıştır. Bu yüzden klinik olarak İP kemoterapi uygulamalarında Zn'nun birlikte kullanılmasının faydalı olacağı düşüncemizdeyiz.

KAYNAKLAR

- De Vita V, Heliman S, Rosenberg S. Cancer, 1993; 929-951.
- Martens M, Hendriks T, Wobbes T. Intraperitoneal cytostatics impair early post-operative collagen synthesis in experimental intestinal anastomoses. Br J Cancer 1992; 65: 649-654.
- Dedrick R, Myers C, Bungay P, et al. Pharmacokinetic rationale for peritoneal drug administration in the treatment of ovarian cancer. 1978; 62:1-10.
- Ferguson M. The effect of antineoplastic agents on wound healing. Surgery. 1982; 154:421-429.
- Thomas JC, Austin IM, Kelman C. Biology of Wound Healing. Surg Clin N Am 1984; 64:721-733.
- Woessner J. The determination of hydroxyproline in tissue and protein samples containing small proportions of this amino acid. Arch Biochem Biophys 1961; 93:440-447.
- Zuidewijn R, Schillings P, Wobbes TH, et al. Histologic evaluation of wound healing in experimental intestinal anastomoses: effects of antineoplastic agents. Int J Exp Path 1992; 73:465-484.
- Haykan M, Özdemir Ö. Bilgisayarlı istatistik ve Tıp. 1995; 227-272.
- Kayaalp O. Tıbbi Farmakoloji. Cilt 1: 900-946.
- Welber S, Graf W, Glimelius B, et al. The effect of 5-Fluorouracil on wound healing and collagen synthesis in the left colon anastomoses. Eur Surg Res 1994; 26:173-178.
- Graf W, Weiber S, Glimelius B, et al. Influence of 5-FU and folinic acid on colonic healing: an experimental study in the rat. Br J Surg 1992; 79:825-828.
- Wilhelm G, Ivarsson M, Gerdin B, et al. The influence of early postoperative intraperitoneal chemotherapy on human wound healing. J Surg Res 1994; 57:394-400.
- Wilhelm G, Weiber S, jiboran H, et al. The roles of nutritional depletion and drug concentration in 5-FU induced inhibition of colonic healing. J Surg Res 1994; 56:452-456.
- Weiber S, Grafw, Glimelius B, et al. Experimental colonic healing in relation to timing of 5-FU therapy. British Journal of Surgery 1994; 81:1677-1680.
- Aszodi A, Ponsky J. Effects of 5-fluorouracil on the healing of bowel anastomosis in rats. The American Surgeon 1985; 52:671-674.
- Hillan K, Nordlinger B, Ballet F. The healing of colonic anastomoses after early intraperitoneal chemotherapy: An experimental study in rats. J Surg Res 1988; 44:166-171.
- Berberoğlu U, Erekul S, Akbay C. ve ark. Antimetabolit grubu kemoterapötiklerin yara iyileşmesine etkileri. Ulusal Cerrahi Derneği 1989; 3:11-14.
- Klausner J, Lelcuk S, Inbar M. The affects of perioperative Fluorouracil administration on convalescence and wound healing. Arch Surg 1986; 121:239-242.
- Waard JW, Wobbes T, Hendriks T. Early post operative 5-fluorouracil does not affect the healing of experimental intestinal anastomoses. Int J Col Dis 1993; 8:175-178.
- Falcone E, Nappi F. Chemotherapy and wound healing. Surg Clin N Am 1984; 64:779-794.
- Klausner M. The effects of perioperative fluorouracil administration on convalescence and wound healing. Arch Surg 1986; 136:239-242.
- Strain W, Dutton A, Heyer H. Experimental studies on the acceleration of burn and wound healing. Univ. of rochester report. 1953:16.
- Harold H., Verne C., Glenn H., et al; Effects of zinc deficiency and zinc supplementation. The Am J Clin Nutr 1970; 23:514-519.
- Karcioğlu Z, Sarper R. Zinc and copper in medicine. 1981; 535-577.
- Ogle C.,cho C.; Studies on the action of zinc on the gastric effects of starvation or reserpine in rats with increased stomach mast cell populations. Parm Res Comm 1978; 10:597.

26. Savlov E.d., Strain W.h., Huegin F.; Radozinc studies in experimental wound healing. JSR 1962; 11:209-212.
27. Henzel H. Zinc concentrations. Arch Surg 1970; 100:350-357.
28. Fraser WD, Taggart DP, Fell GS, et al. Changes in Iron, Zinc and copper concentration in serum and in their binding to transport proteins after colecystectomy and cardiac surgery. Clin Chem 1989; 35:2243-2247.
29. Carole J, Gary E. Absorption of trace metals in the zinc deficient rat. Am J Physiol 1975; 228:1020-1023.
30. Storey M, Greger J. Iron Zinc and Copper interactions: Chronic versus acute responses of rats. Am Inst Nutr 1986; 17:1434-1442.
31. Hallmans G, Hanström L, Lundgren E. The effect of zinc tape upon wound healing. Scand J Plast Reconstr Surg. 1979; 13:251-259